= ЭЛЕМЕНТАРНЫЕ ЧАСТИЦЫ И ПОЛЯ =

РАСЧЕТ ДВУХБОЗОННОГО ОБМЕНА С КОМПЛЕКСНЫМИ МАССАМИ

© 2021 г. В. А. Зыкунов^{1),2)*}

Поступила в редакцию 9.12.2020 г.; после доработки 22.01.2021 г.; принята к публикации 22.01.2021 г.

Описан новый метод расчета вклада в сечение четырехфермионного процесса диаграмм двухбозонного обмена (боксов) с одной и двумя комплексными массами бозонов. Сделан подробный численный анализ полученных результатов и их сверка с асимптотическими выражениями для областей энергий ниже и выше Z-резонанса.

DOI: 10.31857/S0044002721050160

1. ВВЕДЕНИЕ

Нетривиальная задача расчета вклада диаграмм двухбозонного обмена (ДО) возникла как часть задачи учета однопетлевых электромагнитных радиационных поправок в экспериментах физики высоких энергий. На первом этапе эта задача в основном решалась аналитически. Одним из первых методически последовательных аналитических расчетов ДО для случая двух фотонов была работа Дж. Қахане (Ј. Қаһапе) [1]. Ключом для упрощения вычислений в [1] стала догадка скомбинировать инфракрасно-расходящиеся 3- и 4-точечные функции в инфракрасно-конечное выражение. Хотя это выражение более сложно по форме в сравнении с простым скалярным 4-точечным интегралом (из-за наличия в числителе комбинации, квадратичной по 4-импульсу переменной интегрирования), однако рассчитывается проще, так как из-за инфракрасной конечности учет инфинитезимальной массы фотона λ в нем не требуется.

Далее, Г. 'т Хоофтом и М. Велтманом в работе [2] был предложен общий метод аналитического расчета скалярных многоточечных интегралов. Для 3-точечных функций метод приводит к выражению, состоящему из не более чем 12 дилогарифмов (или функций Спенса [3], см. Приложение А). Если для 3-точечных функций метод [2] хорошо работает при произвольных массах и значениях энергии, то для 4-точечных функций в случае комплексных масс (характерных для *s*-канальных амплитуд) сложность выражения существенно увеличивается, например, количество слагаемых возрастает до

108. Принципиальной трудностью является также то, что предлагаемое представление приводит к неточностям при расчете в некоторых проблемных кинематических областях из-за возникающих численных "псевдонеопределенностей" вида $\infty - \infty$, $\frac{\infty}{\infty}$, $\frac{0}{0}$, либо их более сложной комбинации. Определенные успехи в упрощении были достигнуты, например, в работе [4] (там результат состоит из "всего 16 функций Спенса") и в работе [5], где получены простые аналитические выражения для нейтральных s-канальных боксов, но только в области $m_f^2 \ll s \leq 2 \mathrm{Re} m_a^2$.

По прошествии времени, с развитием компьютерных технологий, появилось большое число программных комплексов, позволяющих эффективно рассчитывать диаграммы не только в однопетлевом приближении (например, коды FF [6], LoopTools [7]), но и в высших порядках (в настоящий момент до четырехпетлевого уровня). Поскольку стандартным приемом остается объединение знаменателей с помощью приема Фейнмана (так называемый Feynman's trick [8], см. ниже), то усилия в основном были сосредоточены на эффективном интегрировании по фейнмановским параметрам. Среди разработанных с тех пор программ-интеграторов необходимо упомянуть программу 1978 г. VEGAS [9] (автор — П. Лепаж [P. Lepage]). Этот код задал высочайший уровень качества подобных программ и до сих пор весьма продуктивно используется. Из популярных в настоящее время интеграторов следует назвать библиотеку программ Cuba [10] (автор — Т. Хан [T. Hahn]). В нее, кроме кода VEGAS, входят также алгоритмы Cuhre, Divonne и Suave. Библиотека Cuba лежит в основе ряда современных программ многопетлевых вычислений, стоит упомятуть такие эффективные пакеты как, например, FIESTA[11] и SECDEC [12].

¹⁾Объединенный институт ядерных исследований, Дубна,

²⁾Гомельский государственный университет им. Ф. Скорины, Гомель, Беларусь.

^{*}E-mail: zykunov@cern.ch

Не стояли на месте и аналитические методы расчета многопетлевых диаграмм. Так, давно хорошо изученными функциями, наряду с упоминаемыми дилогарифмами, стали так называемые кратные полилогарифмы (multiple polylogarithms)[13], с помощью которых выражаются результаты для некоторых классов многопетлевых диаграмм (например, для вычисления боксов пакетами XLOOPS-GiNaC [14]). Активно идет работа по изучению эллиптических полилогарифмов [15], которые помогают в ряде случаев при расчете тех высших диаграмм, которые не выражаются через кратные полилогарифмы.

В настоящей работе будет показано, как точно и быстро рассчитать вклад ДО в канале нейтрального тока с комплексными массами без сложностей. связанных с представлением через комплекснозначные дилогарифмы и применением продвинутых адаптивных техник интегрирования. Другими словами, полученный аналитический результат прост, удобен для программирования, анализа и применения для конкретной интерпретации в физическом эксперименте (это будет проиллюстрировано на примере реакции Дрелла-Яна на эксперименте CMS LHC). План работы следующий: в разд. 2 дано общее описание четырехфермионного процесса, в разд. З приведены выражения для сечения процесса с ДО, в разд. 4 с использованием новой техники проделан расчет 4-точечных функций: для γZ -бокса (разд. 4.1), для ZZ- и WW-боксов (разд. 4.2). Численный анализ проведен в разд. 5. Технические детали вынесены в Приложения, в частности, в Приложении Г приведен упрощенный вариант формул, пригодных для расчета ДО с комплексными массами в произвольной кинематической области.

2. ОПИСАНИЕ ПРОЦЕССА В БОРНОВСКОМ ПРИБЛИЖЕНИИ

Дадим общее описание четырехфермионного процесса с продольной поляризацией начальных частиц. Для определенности рассмотрим в начальном состоянии кварки, а в конечном — лептоны (пользуясь элементарными заменами, можно использовать все полученные формулы для произвольной фермионной конфигурации):

$$q(p_1) + \bar{q}(p_2) \to c(q) \to l^-(p_3) + l^+(p_4).$$
 (1)

Поляризацию полезно удержать в расчете, так как в планируемых экспериментах на будущем электрон-позитронном коллайдере, описание которых входит в круг задач, которые возможно решить предлагаемым в этой работе методом, намечается поляризовать по крайней мере электрон.

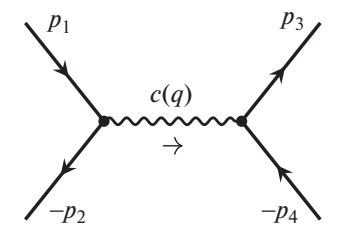


Рис. 1. Фейнмановская диаграмма процесса $qar q o l^- l^+$ в борновском приближении. Волнистой линией обозначены фотон или Z-бозон.

Фейнмановская диаграмма, соответствующая процессу (1) в борновском приближении, приведена на рис. 1. Обозначения на диаграмме следующие:

- p_1 4-импульс первого кварка с ароматом q и массой m_q ;
- p_2 4-импульс второго антикварка (с тем же ароматом и массой);
- p_3 4-импульс конечного лептона l^- с ароматом l и массой m_l ;
- p_4 4-импульс конечного антилептона l^+ (с тем же ароматом и массой);
- $q=p_1+p_2=p_3+p_4$ 4-импульс c-бозона с массой m_c .

Промежуточные бозоны везде в работе будут обозначаться малыми латинскими буквами: a,b,c,...= = γ,Z,W .

Приведем стандартный набор лоренц-инвариантных переменных Мандельштама:

$$s = q^2 = (p_1 + p_2)^2, \quad t = (p_1 - p_3)^2,$$
 (2)
 $u = (p_2 - p_3)^2.$

которые сформированы из 4-импульсов частиц. В работе применяется ультрарелятивистское приближение (УРП):

$$s, |t|, |u| \gg m_f^2. \tag{3}$$

Также будем пользоваться общим фермионным индексом f = q, l.

Для расчета $d\sigma^0$ — дифференциального сечения процесса (1), изображенного на рис. 1, — применяется стандартная техника. Прежде всего, сформируем амплитуды, используя правила Фейнмана из [5], и кратко опишем их. Входящему фермиону с 4-импульсом p соответствует биспинорная амплитуда u(p), выходящему — биспинорная амплитуда $\bar{u}(p)$.

Пропагатору бозона (в калибровке Фейнмана) отвечает выражение $-ig^{\alpha\beta}D_a(q)$, где

$$D_a(q) = \frac{1}{q^2 - m_a^2},\tag{4}$$

а q-4-импульс передачи в пропагаторе. Используется общее правило так называемых комплексных масс

$$m_a^2 \to m_a^2 - i\epsilon_a.$$
 (5)

Фотонная масса $m_{\gamma} \equiv \lambda$ равна нулю везде, кроме специально отмеченных случаев, где она используется как инфинитезимальный параметр, который регуляризует инфракрасную расходимость. Масса Z-бозона обозначена как m_Z , величина Γ_Z — это его ширина. Мнимая часть знаменателя пропагатора в случае фотона $\epsilon_{\gamma} \to 0$ служит для обхода полюса. В случае массивного Z-бозона могут быть использованы разные схемы для корректного учета ширины. В настоящей работе используется схема с фиксированной шириной, для которой величина ϵ_Z выглядит следующим образом:

$$\epsilon_Z = m_Z \Gamma_Z. \tag{6}$$

Фермионный (электронный) пропагатор выглядит так (тут p-4-импульс передачи, также везде используется сокращенная запись $\hat{p} = \gamma^{\mu} p_{\mu}$):

$$iS(p) = i\frac{\hat{p} + m}{p^2 - m^2}.$$
 (7)

Вершине взаимодействия фермиона f с калибровочным бозоном a соответствует выражение

$$ie\gamma_{\mu}\Gamma_{f}^{a}$$
, где $\Gamma_{f}^{a}=v_{f}^{a}-a_{f}^{a}\gamma_{5}.$ (8)

Векторные и аксиально-векторные константы связи фермиона аромата f с фотоном и Z-бозоном:

$$v_f^{\gamma} = -Q_f, \quad a_f^{\gamma} = 0,$$

$$v_f^{Z} = \frac{I_f^3 - 2Q_f s_W^2}{2s_W c_W}, \quad a_f^{Z} = \frac{I_f^3}{2s_W c_W};$$

константы связи фермионов с W-бозоном:

$$v_f^W = a_f^W = \frac{1}{2\sqrt{2}s_W}.$$

Используются следующие параметры Стандартной модели (СМ): Q_f — электрический заряд f-частицы в единицах протонного заряда e, третья компонента слабого изоспина для конкретного типа фермиона:

$$I_{\nu}^{3} = +\frac{1}{2}, \quad I_{e}^{3} = -\frac{1}{2}, \quad I_{u}^{3} = +\frac{1}{2}, \quad I_{d}^{3} = -\frac{1}{2},$$
 (9)

а s_W (c_W) — синус (косинус) угла Вайнберга, которые связаны с массами Z- и W-бозона согласно правилам СM:

$$c_{\rm W} = \frac{m_W}{m_Z}, \quad s_{\rm W} = \sqrt{1 - c_{\rm W}^2}.$$
 (10)

Амплитуда процесса (1) выглядит так:

$$\mathcal{M}_0^c = ie^2 D_c(q) \cdot \bar{u}(-p_2) \gamma_\mu \Gamma^c u(p_1) \times \times \bar{u}(p_3) \gamma^\mu \Gamma^c u(-p_4).$$
(11)

Сечение формируется по общему правилу

$$d\sigma = \frac{1}{8\pi^2 s} |\mathcal{M}|^2 d\Phi_2,\tag{12}$$

где \mathcal{M} — амплитуда процесса, а фазовый объем реакции имеет вид

$$d\Phi_{2} = \delta(p_{1} + p_{2} - p_{3} - p_{4}) \times$$

$$\times \frac{d^{3}\mathbf{p}_{3}}{2p_{30}} \frac{d^{3}\mathbf{p}_{4}}{2p_{40}} \approx \frac{\pi}{2s} dt.$$
(13)

Квадрируя суммарную амплитуду для обмена фотоном и Z-бозоном, получим борновское сечение в виде

$$d\sigma^0 = \frac{\pi \alpha^2}{s^2} \sum_{a,c=\gamma,Z} \Pi^{ac} R_q^{aac} \cdot dt. \tag{14}$$

Функция R_q получается из расчета произведения следов матриц:

$$R_q^{abc} = \operatorname{Sp}\left[\gamma_{\mu}\Gamma_q^a U_1 \Gamma_q^{c+} \gamma_{\nu} U_2\right] \times \times \operatorname{Sp}\left[\gamma_{\mu}\Gamma_l^b U_4 \Gamma_l^{c+} \gamma_{\nu} U_3\right], \tag{15}$$

где $U_{1,2}$ — матрицы плотности, $U_{3,4}$ — проекционные операторы:

$$U_1 = u(p_1)\bar{u}(p_1), \quad U_2 = u(-p_2)\bar{u}(-p_2),$$

 $U_3 = \sum u(p_3)\bar{u}(p_3), \quad U_4 = \sum u(-p_4)\bar{u}(-p_4).$

Пропагаторы бозонов образуют комбинации: $\Pi^{ac} = D_a(q)D_c^*(q)$.

Используем коммутационные свойства гаммаматриц и подберем удобную сокращенную форму записи констант связи и степеней продольной поляризации начальных частиц (λ_1 и λ_2):

$$R_q^{abc} = T_q^{abc} + U_q^{abc}, (16)$$

где функции T_q и U_q выглядят так:

$$T_q^{abc} = 2t^2 ([1 - \lambda_1 \lambda_2] f_{q-}^{abc} + [\lambda_1 - \lambda_2] g_{q-}^{abc}), \quad (17)$$

$$U_q^{abc} = 2u^2 ([1 - \lambda_1 \lambda_2] f_{q+}^{abc} - [\lambda_1 - \lambda_2] g_{q+}^{abc}),$$

а комбинации констант связи и степеней поляризаций имеют вид

$$\begin{split} f_{q\pm}^{abc} &= \lambda_{q+}^{ac} \lambda_{l+}^{bc} \pm \lambda_{q-}^{ac} \lambda_{l-}^{bc}, \\ g_{q+}^{abc} &= \lambda_{q+}^{ac} \lambda_{l-}^{bc} \pm \lambda_{q-}^{ac} \lambda_{l+}^{bc}. \end{split}$$

Используются следующие обозначения для произведений констант связи:

$$\lambda_{f+}^{ab} = v_f^a v_f^b + a_f^a a_f^b, \quad \lambda_{f-}^{ab} = v_f^a a_f^b + a_f^a v_f^b.$$
 (18)

538 ЗЫҚУНОВ

3. ВКЛАД В СЕЧЕНИЕ ОТ ДИАГРАММ ДВУХБОЗОННОГО ОБМЕНА

Сечение вклада ДО (с обменом бозонами a и b) имеет вид

$$\frac{d\sigma^{ab}}{dt} = \frac{1}{2^3 \pi s^2} \sum_{c=\gamma,Z} \left(M_D^{ab} + M_C^{ab} \right) M_0^{c+}.$$
 (19)

Произведения боксовских прямой (соответствует рис. 2a) и перекрестной (соответствует рис. 26) амплитуд с борновской выглядят так:

$$\mathcal{M}_{D}^{ab}\mathcal{M}_{0}^{c+} = +C_{s} \int \frac{dk}{i\pi^{2}} D_{a}(k) \times$$

$$\times D_{b}(q-k) \frac{1}{(k^{2}-2p_{1}k)(k^{2}-2p_{3}k)} \times$$

$$\times \operatorname{Sp}\left[\gamma_{\beta}(\hat{p}_{1}-\hat{k})\gamma_{\mu}U_{1}^{abc}\gamma_{\nu}U_{2}\right] \times$$

$$\times \operatorname{Sp}\left[\gamma^{\mu}(\hat{p}_{3}-\hat{k})\gamma^{\beta}U_{4}^{abc}\gamma^{\nu}U_{3}\right],$$

$$\mathcal{M}_{C}^{ab}\mathcal{M}_{0}^{c+} = -C_{s} \int \frac{dk}{i\pi^{2}} D_{a}(k) \times$$

$$\times D_{b}(q-k) \frac{1}{(k^{2}-2p_{1}k)(k^{2}-2p_{4}k)} \times$$

$$\times \operatorname{Sp}\left[\gamma_{\beta}(\hat{p}_{1}-\hat{k})\gamma_{\mu}U_{1}^{abc}\gamma_{\nu}U_{2}\right] \times$$

$$\times \operatorname{Sp}\left[\gamma^{\beta}(\hat{p}_{4}-\hat{k})\gamma^{\mu}U_{4}^{abc}\gamma^{\nu}U_{3}\right],$$

$$(20)$$

где $C_s = 4\pi\alpha^3 D_c^*(q)$. Приведем выражения U_{1-4} в VPП:

$$U_{1,4}^{abc} = \Gamma^a \Gamma^b \Gamma^c U_{1,4} = (v_0^{abc} - a_0^{abc} \gamma_5) U_{1,4}, \quad (22)$$
$$U_2 = \frac{1}{2} (1 - \lambda_2 \gamma_5) \hat{p}_2, \quad U_3 = \hat{p}_3.$$

Упрощая, получаем:

$$U_{1}^{abc} = \frac{1}{2} (v_{1,q}^{abc} - a_{1,q}^{abc} \gamma_{5}) \hat{p}_{1}, \qquad (23)$$

$$U_{4}^{abc} = (v_{0,l}^{abc} - a_{0,l}^{abc} \gamma_{5}) \hat{p}_{4},$$

$$v_{1,f}^{abc} = v_{0,f}^{abc} - \lambda_{1} a_{0,f}^{abc},$$

$$v_{0,f}^{abc} = v_{f}^{a} v_{f}^{b} v_{f}^{c} + v_{f}^{a} a_{f}^{b} a_{f}^{c} + a_{f}^{a} v_{f}^{b} a_{f}^{c} + a_{f}^{a} a_{f}^{b} v_{f}^{c},$$

$$a_{1,f}^{abc} = a_{0,f}^{abc} - \lambda_{1} v_{0,f}^{abc},$$

$$a_{0,f}^{abc} = a_{f}^{a} a_{f}^{b} a_{f}^{c} + a_{f}^{a} v_{f}^{b} v_{f}^{c} + v_{f}^{a} a_{f}^{b} v_{f}^{c} + v_{f}^{a} v_{f}^{b} a_{f}^{c}.$$

Как выяснится ниже, в сечение ДО константы связи входят только в двух комбинациях:

$$C_3^{abc} = \left(v_{1,q}^{abc} + \lambda_2 a_{1,q}^{abc}\right) v_{0,l}^{abc},$$

$$C_4^{abc} = \left(a_{1,q}^{abc} + \lambda_2 v_{1,q}^{abc}\right) a_{0,l}^{abc}.$$
(24)

Как видно из (20), нужно уметь рассчитывать четырехточечные скалярный, векторный и тензорный интегралы, для прямого бокса они имеют вид

$$I_{0,\alpha,\alpha\beta}^{ab} = \int \frac{dk}{i\pi^2} \frac{1, k_{\alpha}, k_{\alpha}k_{\beta}}{\left(k^2 - m_a^2\right)\left((k - q)^2 - m_b^2\right)\left(k^2 - 2p_1k\right)\left(k^2 - 2p_3k\right)}.$$
 (25)

Векторный и тензорный интегралы для прямого бокса представляются в виде

$$I_{\alpha}^{ab} = a_{1}p_{1\alpha} + a_{2}p_{3\alpha} + a_{3}q_{\alpha}, \qquad (26)$$

$$I_{\alpha\beta}^{ab} = b_{0}g_{\alpha\beta} + b_{1}p_{1\alpha}p_{1\beta} + b_{2}p_{3\alpha}p_{3\beta} + \qquad (27)$$

$$+ b_{3}q_{\alpha}q_{\beta} + b_{4}(p_{1\alpha}p_{3\beta} + p_{3\alpha}p_{1\beta}) + \qquad + b_{5}(p_{1\alpha}q_{\beta} + q_{\alpha}p_{1\beta}) + b_{6}(p_{3\alpha}q_{\beta} + q_{\alpha}p_{3\beta}).$$

Выражения для перекрестного бокса получаются из формул (25), (26), (27) заменой $p_3 \rightarrow p_4$.

Подставляя выражения (26), (27) в (20), получим для произведения следов гамма-матриц:

$$+\operatorname{Sp}[...]\operatorname{Sp}[...]|_{D} \to (28)$$

$$\to 4C_{3}^{abc}\Big[(a_{1} + a_{2} - I_{0})t(t^{2} + u^{2}) + 2b_{0}(4t^{2} + u^{2}) - (2a_{3} - b_{3} - b_{5} - b_{6})st^{2} - b_{4}t(2t^{2} + u^{2})\Big] + (28)$$

$$+4C_4^{abc}\Big[(a_1+a_2-I_0)t(u^2-t^2)+ +2b_0(u^2-4t^2)+ +2(a_3-b_3-b_5-b_6)st^2+b_4t(2t^2-u^2)\Big].$$

Во всех коэффициентах I_0 , $a_{1,...}$, $b_{0,...}$ подразумеваются верхние индексы ab, как в левой части уравнений (26), (27). Аналогично, произведение следов для перекрестного бокса (21) такое:

$$-\operatorname{Sp}[...]\operatorname{Sp}[...]|_{C} \to (29)$$

$$\to 4C_{3}^{abc} \Big[-(a_{1} + a_{2} - I_{0})u(u^{2} + t^{2}) - 2b_{0}(4u^{2} + t^{2}) + (2a_{3} - b_{3} - b_{5} - b_{6})su^{2} + b_{4}u(2u^{2} + t^{2}) \Big] + 4C_{4}^{abc} \Big[(a_{1} + a_{2} - I_{0})u(t^{2} - u^{2}) + (29) + (29) + (29) + (29) \Big]$$

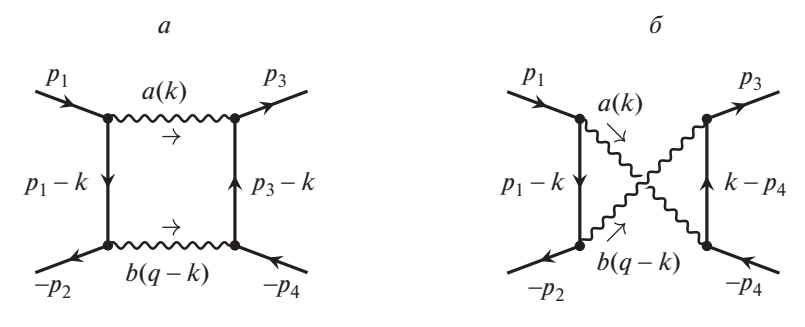


Рис. 2. Диаграммы двухбозонных вкладов в процесс $q\bar{q} \to l^- l^+$. Волнистой линией обозначен фотон, Z-бозон или W-бозон.

$$+2b_0(t^2-4u^2) +$$

$$+2(a_3-b_3-b_5-b_6)su^2+b_4u(2u^2-t^2).$$

Отметим, что коэффициенты I_0 , $a_{1,...}$, $b_{0,...}$ для прямых и перекрестных боксов разные, связь между ними объяснена выше.

Сведение (редукция) четырехточечных векторных и тензорных интегралов к скалярным (так называемое векторное и тензорное интегрирование) обычно осуществляется методом Вельтмана—Пассарино [16], это довольно трудоемкая процедура. В настоящей работе будет предложен другой, как полагает автор, более простой путь.

4. РАСЧЕТ ЧЕТЫРЕХТОЧЕЧНЫХ ФУНКЦИЙ

Для начала рассмотрим прямой бокс. Приведем формулы, позволяющие объединить произведение в знаменателе 4-точечного интеграла [8],

$$\frac{1}{AB} = \int_{0}^{1} \frac{dx}{(Ax + B\bar{x})^{2}}, \tag{30}$$

$$\frac{1}{A^{2}B} = \int_{0}^{1} \frac{2xdx}{(Ax + B\bar{x})^{3}}, \tag{30}$$

$$\frac{1}{A^{3}B} = \int_{0}^{1} \frac{3x^{2}dx}{(Ax + B\bar{x})^{4}}.$$

Параметр Фейнмана с чертой традиционно означает:

$$\bar{x} = 1 - x$$
, $\bar{y} = 1 - y$, $\bar{z} = 1 - z$.

Последовательно применяя формулы (30), получим

$$\frac{1}{ABCD} = 3! \int_{0}^{1} dx \int_{0}^{1} dy \int_{0}^{1} dz \frac{yz^{2}}{E^{4}}, \quad (31)$$

$$E = A \cdot xyz + B \cdot \bar{x}yz + C \cdot \bar{y}z + D \cdot \bar{z}.$$

Пользуясь (31), преобразуем подынтегральное выражение 4-точечных функций I^{ab} . Существует 4!=24 способа выбрать последовательность множителей в знаменателе. Оказывается, только 3! из них (если $D=k^2-m_a^2$) дают возможность факторизовать результат в целях его дальнейшего упрощения в случае $a=\gamma$. Выбирая один из таких вариантов:

$$A = (k - q)^{2} - m_{b}^{2}, \quad B = k^{2} - 2p_{3}k, \qquad (32)$$

$$C = k^{2} - 2p_{1}k, \quad D = k^{2} - m_{a}^{2},$$

получим для произвольного случая:

$$E = k^2 - 2\mathcal{P}k + \Delta,$$

$$\mathcal{P} = (\bar{y} \cdot p_1 + \bar{x}y \cdot p_3 + xy \cdot q)z,$$

$$\Delta = -m_a^2 \cdot \bar{z} + (q^2 - m_b^2) \cdot xyz.$$

Для дальнейшего нам понадобится квадрат 4-вектора \mathcal{P} :

$$\mathcal{P}^2 = \mathcal{A} \cdot z^2,\tag{33}$$

где коэффициент \mathcal{A} не зависит от индексов бокса ab при условии такого же порядка выбора последовательности A, B, C, D (заметим, что $\mathcal{A} > 0$ во всей области интегрирования):

$$\mathcal{A} = m_q^2 \cdot \bar{y}(1 - xy) +$$

$$+ m_l^2 \cdot \bar{x}y(1 - xy) - t \cdot \bar{x}y\bar{y} + s \cdot xy.$$
(34)

$$4.1$$
. Расчет γZ -бокса

Приступаем к расчету 4-точечной функции $I_0^{\gamma Z}$ (случай $Z\gamma$ отдельно не рассматривается в силу очевидной симметрии результата: $Z\gamma=\gamma Z$). По причине инфракрасной расходимости $I_0^{\gamma Z}$ нельзя занулить массу фотона в общем выражении. Для начала поступим в духе работы [1] — скомбинируем 3- и 4-точечные функции, чтобы аналитически выделить инфракрасную расходимость (ИКР), для

этого введем 4-точечный инфракрасно-конечный интеграл:

$$Y_0^{\gamma Z} = (q^2 - m_Z^2)I_0^{\gamma Z} - H_0^{\gamma} + F_0^Z.$$
 (35)

3-точечные функции H_0^γ и F_0^Z определяются и рассчитываются в Приложении А. Интеграл $Y_0^{\gamma Z}$ после приведения к общему знаменателю подынтегрального выражения приобретает вид

$$Y_0^{\gamma Z} = (36)$$

$$= \int \frac{dk}{i\pi^2} \frac{2kq}{k^2 ((k-q)^2 - m_Z^2) (k^2 - 2p_1 k) (k^2 - 2p_3 k)}.$$

Объединяем знаменатели по формулам (32), затем снимаем интеграл по k, пользуясь известными выражениями:

$$3! \int \frac{dk}{i\pi^2} \frac{1; k_{\alpha}; k_{\alpha}k_{\beta}}{[k^2 - 2\mathcal{P}k + \Delta]^4} =$$

$$= \frac{1; \mathcal{P}_{\alpha}; \mathcal{P}_{\alpha}\mathcal{P}_{\beta} - g_{\alpha\beta}(\mathcal{P}^2 - \Delta)/2}{(\mathcal{P}^2 - \Delta)^2},$$
(37)

тогда

$$Y_0^{\gamma Z} = \int_0^1 dx \int_0^1 y dy \int_0^1 z^2 dz \frac{2\mathcal{P}q}{(\mathcal{P}^2 - \Delta)^2}.$$
 (38)

Упрощая, получим $2\mathcal{P}q = q^2(1+xy)z$. Далее, с учетом (5) и после сокращения в дроби z^2 получаем

$$Y_0^{\gamma Z} = q^2 \int_0^1 dx \int_0^1 y(1+xy)dy \times$$

$$\times \int_0^1 \frac{zdz}{(\mathcal{A}z + \mathcal{B} - i\mathcal{C})^2},$$
(39)

где

$$\mathcal{B} = (m_Z^2 - q^2)xy, \quad \mathcal{C} = \epsilon_Z xy.$$

Теперь нетрудно снять аналитически интеграл по z (все нужные интегралы подобного типа приведены в Приложении Б):

$$Y_0^{\gamma Z} = q^2 \int_0^1 dx \int_0^1 y(1+xy) \mathcal{Y}_{\mathcal{S}} dy.$$
 (40)

В полученном виде (40) интеграл $Y_0^{\gamma Z}$ не имеет особенностей и областей, сложных с точки зрения возможной потери точности. Другими словами, представляется возможность интегрировать $Y_0^{\gamma Z}$ численно, не затрачивая усилий на сведение результата к дилогарифмам и трансцендентным

функциям. Итак, зная $Y_0^{\gamma Z}$ (40), H_0^{γ} (П.2) и F_0^Z (П.8), получим $I_0^{\gamma Z}$:

$$I_0^{\gamma Z} = \frac{1}{q^2 - m_Z^2} \Big(Y_0^{\gamma Z} + H_0^{\gamma} - F_0^Z \Big). \tag{41}$$

Займемся векторным интегралом (26), он инфракрасно-конечен, так что перекомбинаций делать не нужно. Объединим знаменатели и проинтегрируем по формуле (37):

$$I_{\alpha}^{\gamma Z} = \int_{0}^{1} dx \int_{0}^{1} y dy \int_{0}^{1} z^{2} dz \frac{\mathcal{P}_{\alpha}}{(\mathcal{P}^{2} - \Delta)^{2}}.$$
 (42)

Интегрируя по z и сравнивая коэффициенты при одинаковых 4-векторах с выражением (26), получим

$$a_{1} = \int_{0}^{1} dx \int_{0}^{1} y \bar{y} \mathcal{Y}_{\mathcal{S}} dy, \qquad (43)$$

$$a_{2} = \int_{0}^{1} \bar{x} dx \int_{0}^{1} y^{2} \mathcal{Y}_{\mathcal{S}} dy,$$

$$a_{3} = \int_{0}^{1} x dx \int_{0}^{1} y^{2} \mathcal{Y}_{\mathcal{S}} dy.$$

Теперь вычислим тензорный интеграл (27), он также инфракрасно-конечен. Объединяем знаменатели и интегрируем по формуле (37):

$$I_{\alpha\beta}^{\gamma Z} = \int_{0}^{1} dx \int_{0}^{1} y dy \times$$

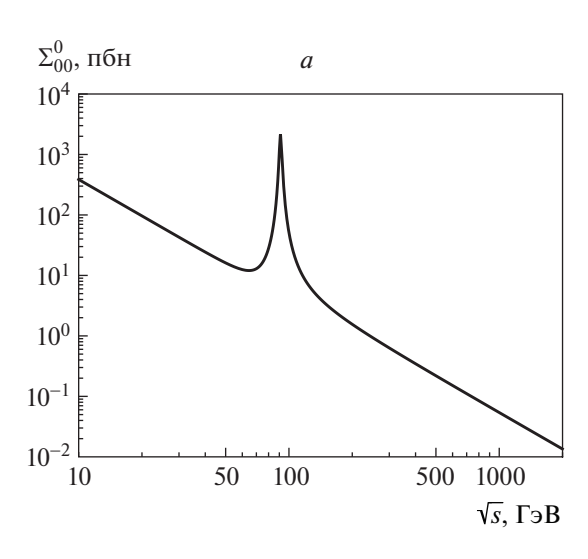
$$\times \int_{0}^{1} z^{2} dz \frac{\mathcal{P}_{\alpha} \mathcal{P}_{\beta} - g_{\alpha\beta} (\mathcal{P}^{2} - \Delta)/2}{(\mathcal{P}^{2} - \Delta)^{2}}.$$
(44)

Снова интегрируем по z и сравниваем коэффициенты при одинаковых тензорах с выражением (27), в результате получаем

$$b_0 = -\frac{1}{2} \int_0^1 dx \int_0^1 y \mathcal{Y}_{\mathcal{A}} dy.$$
 (45)

Коэффициенты b_1 и b_2 не входят в ультрарелятивистское выражение для сечения, тем не менее приведем их:

$$b_1 = \int_0^1 dx \int_0^1 y \bar{y}^2 \mathcal{Y}_{\mathcal{B}} dy, \tag{46}$$



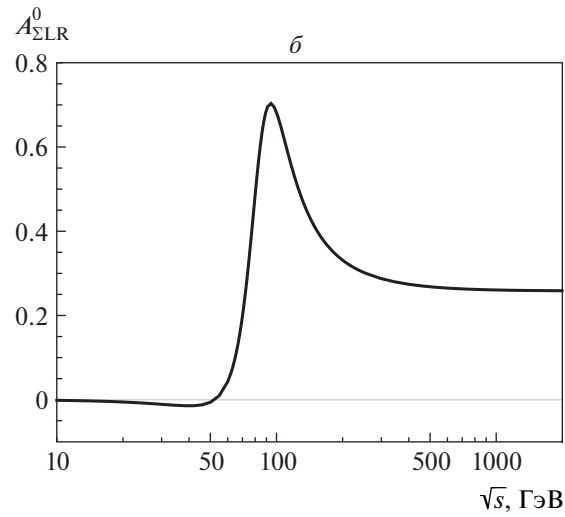


Рис. 3. Борновские полное сечение и поляризационная интегральная асимметрия в зависимости от энергии.

$$b_2 = \int_0^1 \bar{x}^2 dx \int_0^1 y^3 \mathcal{Y}_{\mathcal{B}} dy.$$

Наконец, остальные тензорные коэффициенты имеют вид

$$b_{3} = \int_{0}^{1} x^{2} dx \int_{0}^{1} y^{3} \mathcal{Y}_{\mathcal{B}} dy, \qquad (47)$$

$$b_{4} = \int_{0}^{1} \bar{x} dx \int_{0}^{1} y^{2} \bar{y} \mathcal{Y}_{\mathcal{B}} dy,$$

$$b_{5} = \int_{0}^{1} x dx \int_{0}^{1} y^{2} \bar{y} \mathcal{Y}_{\mathcal{B}} dy,$$

$$b_{6} = \int_{0}^{1} x \bar{x} dx \int_{0}^{1} y^{3} \mathcal{Y}_{\mathcal{B}} dy.$$

Выражения $\mathcal{Y}_{\mathcal{A},\mathcal{B}}$ приведены в Приложении Б.

Мы получили выражения для скалярных, векторных и тензорных коэффициентов для случая прямого γZ -бокса. Нетрудно сообразить, что непосредственной заменой $p_3 \to p_4$ из них получаются выражения для коэффициентов перекрестного γZ -бокса (такая замена означает перестановку $t \leftrightarrow u$).

4.2. Расчет ZZ - и WW -боксов

Для расчета вклада диаграмм с двумя массивными бозонами применяем технику, использованную выше. Выбирая вариант с последовательно-

стью
$$A=k^2-m_Z^2,\ B=(k-q)^2-m_Z^2,\ C=k^2-2p_3k,\ D=k^2-2p_1k,$$
 получим
$$\mathcal{P}=\bar{z}\cdot p_1+\bar{y}z\cdot p_3+\bar{x}yz\cdot q,$$

$$\Delta=(q^2\cdot\bar{x}-m_Z^2)yz.$$

В случае бозонов с массами, значительно превышающими фермионные, достаточно получить ультрарелятивисткий результат. Пренебрежем фермионными массами, тогда выражения в подынтегральной функции 4-точечных интегралов I^{ZZ} выглядят снова $\mathcal{P}^2-\Delta=z(\mathcal{A}z+\mathcal{B}-i\mathcal{C})$ (мы используем то же обозначение коэффициентов, что и в предыдущем разделе, но сами коэффициенты другие):

$$\mathcal{A} = t \cdot \bar{y} - s \cdot x \bar{x} y^2,$$

$$\mathcal{B} = -t \cdot \bar{y} + m_Z^2 \cdot y, \quad \mathcal{C} = \epsilon_Z \cdot y.$$
(48)

Приведем выражения, требующиеся для вычисления сечения (28): скалярный интеграл

$$I_0^{ZZ} = \int_0^1 dx \int_0^1 y \mathcal{Y}_{\mathcal{P}} dy, \tag{49}$$

векторные коэффициенты

$$a_{1} = \int_{0}^{1} dx \int_{0}^{1} y(\mathcal{Y}_{\mathcal{P}} - \mathcal{Y}_{\mathcal{S}}) dy, \qquad (50)$$

$$a_{2} = \int_{0}^{1} dx \int_{0}^{1} y \bar{y} \mathcal{Y}_{\mathcal{S}} dy,$$

$$a_{3} = \int_{0}^{1} \bar{x} dx \int_{0}^{1} y^{2} \mathcal{Y}_{\mathcal{S}} dy$$

542 ЗЫҚУНОВ

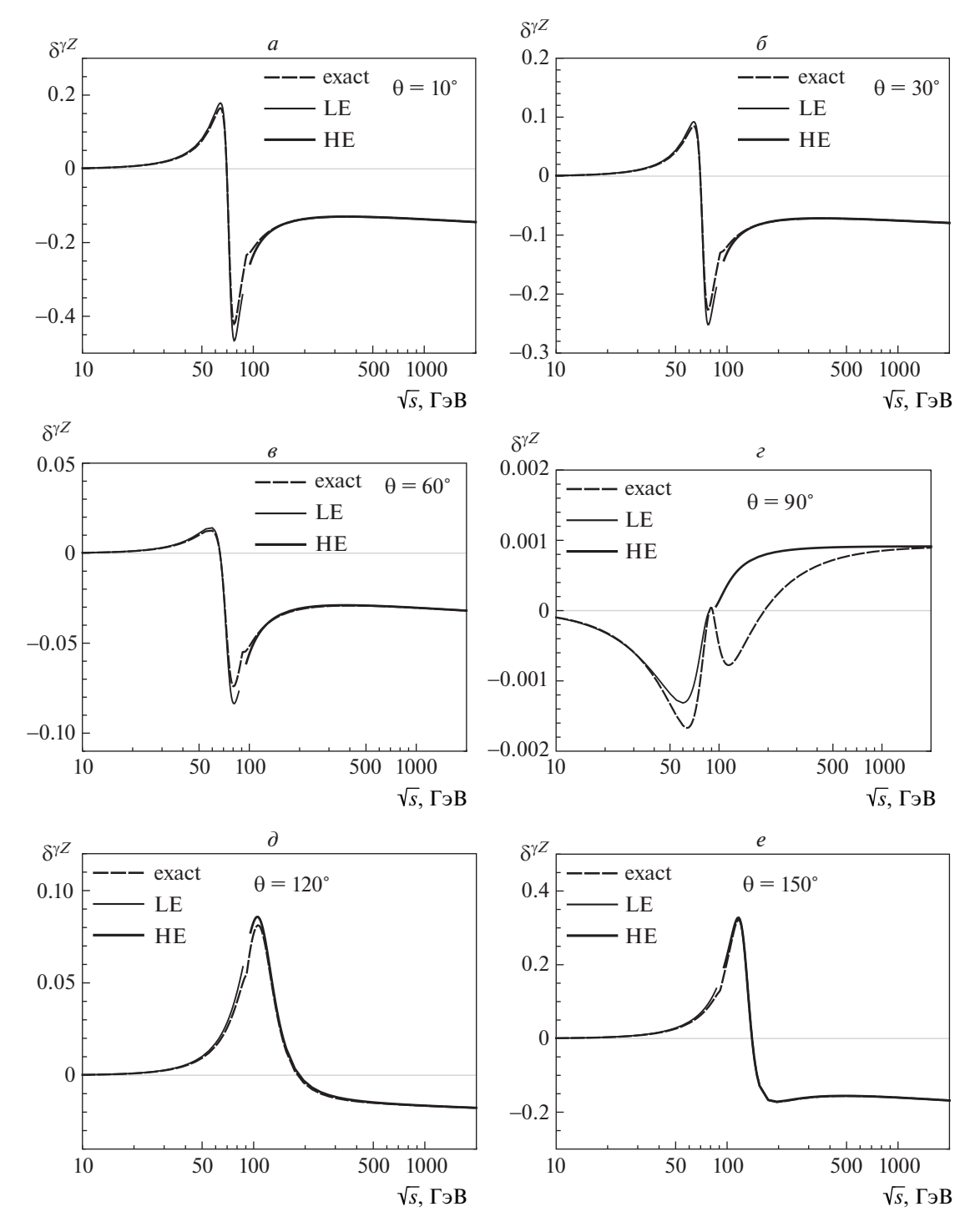


Рис. 4. Относительные поправки к дифференциальному сечению γZ -бокса в зависимости от энергии при разных углах рассеяния.

(можно легко убедиться, что комбинация, присутствующая в сечении (28)

теряет зависимость от $\mathcal{Y}_{\mathcal{P}}$). Наконец, тензорные коэффициенты выглядят так:

$$c_0 = a_1 + a_2 - I_0 = -\int_0^1 dx \int_0^1 y^2 \mathcal{Y}_{\mathcal{S}} dy \qquad (51)$$

$$b_0 = -\frac{1}{2} \int_0^1 dx \int_0^1 y \mathcal{Y}_{\mathcal{A}} dy,$$
 (52)

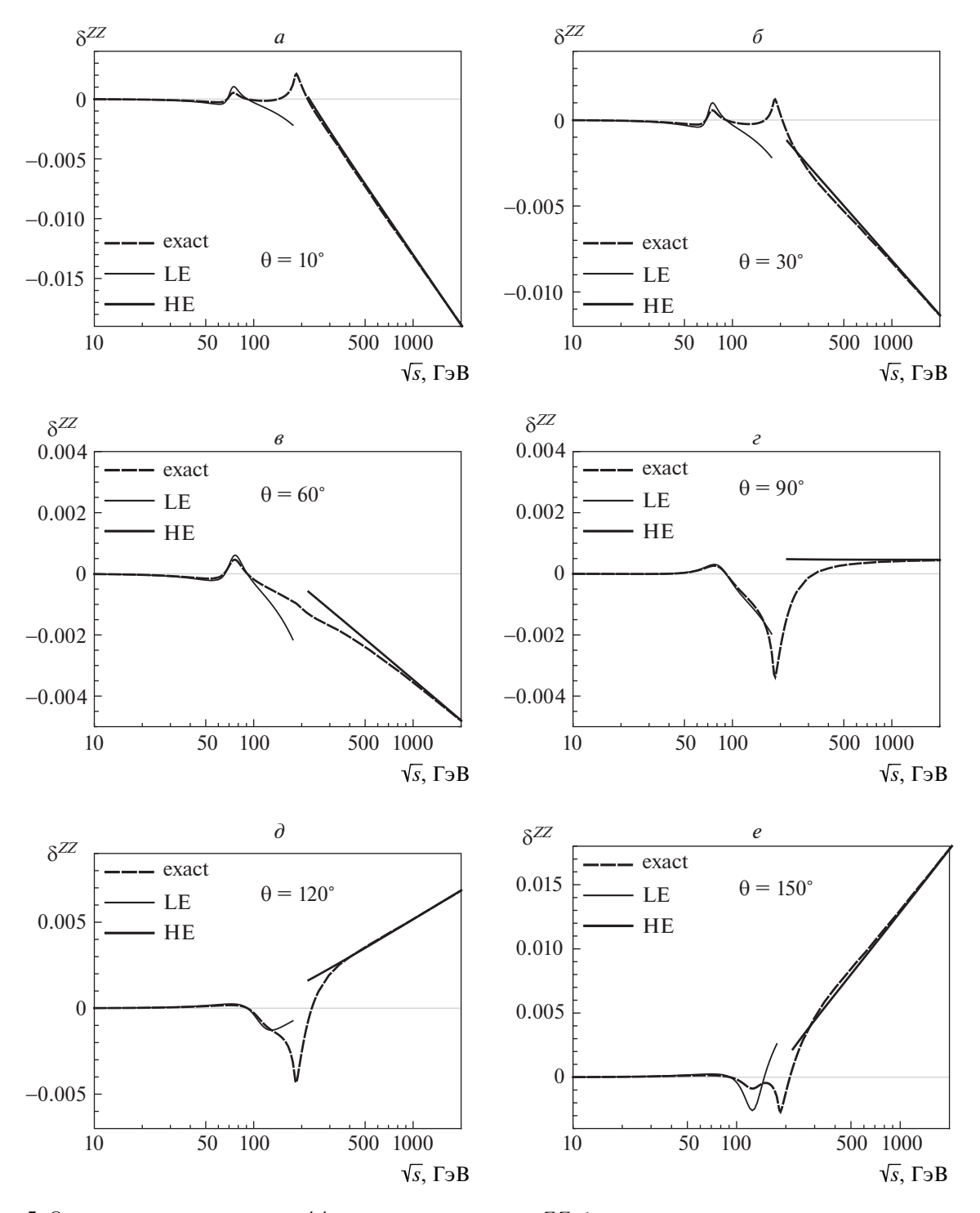


Рис. 5. Относительные поправки к дифференциальному сечению ZZ-бокса в зависимости от энергии при разных углах рассеяния.

$$b_1 = \int_0^1 dx \int_0^1 y (\mathcal{Y}_{\mathcal{P}} - 2\mathcal{Y}_{\mathcal{S}} + \mathcal{Y}_{\mathcal{B}}) dy, \qquad \qquad b_2 = \int_0^1 dx \int_0^1 y \bar{y}^2 \mathcal{Y}_{\mathcal{B}} dy,$$

3ЫҚУНОВ

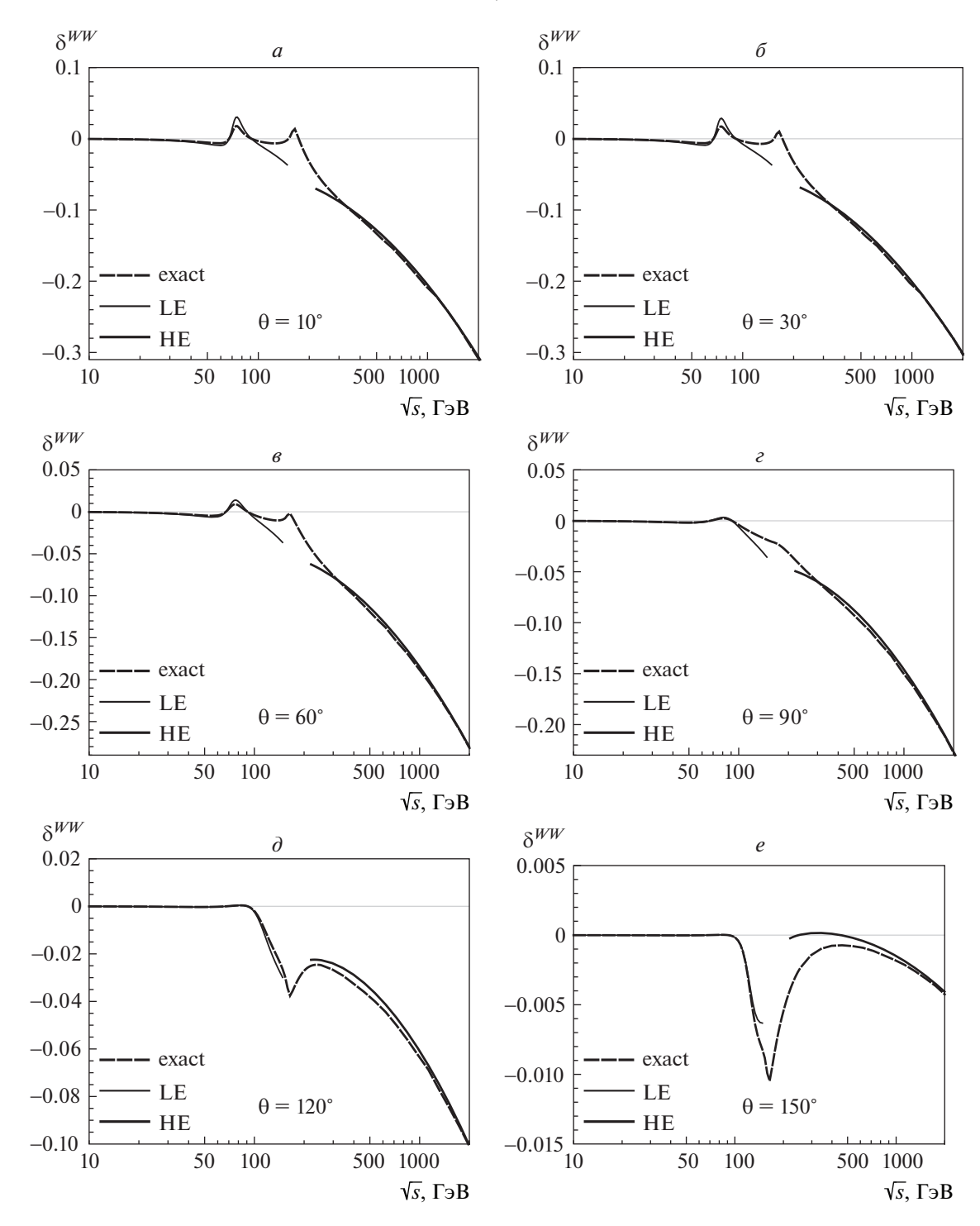


Рис. 6. Относительные поправки к дифференциальному сечению WW -бокса в зависимости от энергии при разных углах рассеяния.

$$b_3 = \int_0^1 \bar{x}^2 dx \int_0^1 y^3 \mathcal{Y}_{\mathcal{B}} dy, \qquad b_4 = \int_0^1 dx \int_0^1 y \bar{y} (\mathcal{Y}_{\mathcal{S}} - \mathcal{Y}_{\mathcal{B}}) dy,$$

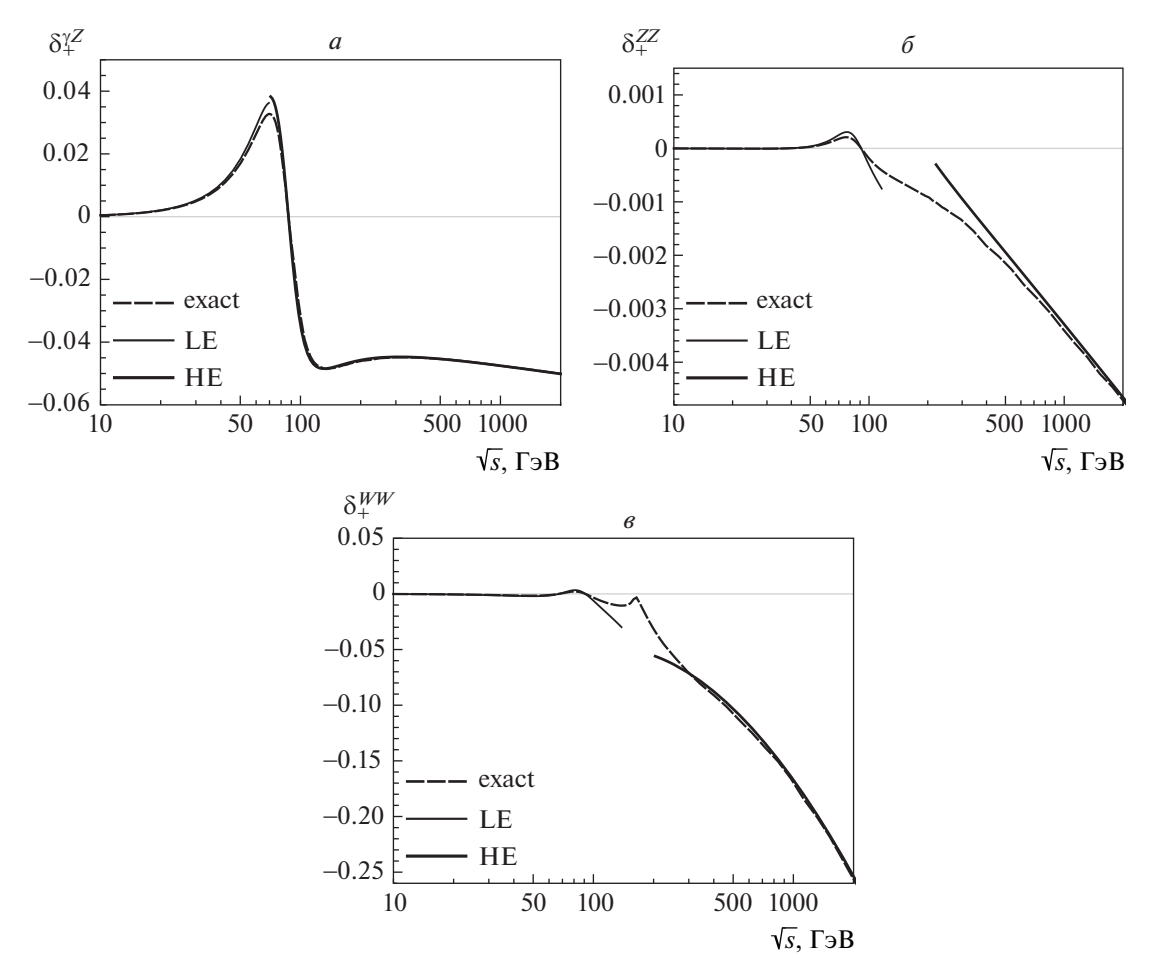


Рис. 7. Относительные поправки к полному сечению γZ -, ZZ-, WW-боксов в зависимости от энергии.

$$b_5 = \int_0^1 \bar{x} dx \int_0^1 y^2 (\mathcal{Y}_{\mathcal{S}} - \mathcal{Y}_{\mathcal{B}}) dy,$$
$$b_6 = \int_0^1 \bar{x} dx \int_0^1 y^2 \bar{y} \mathcal{Y}_{\mathcal{B}} dy.$$

Выражения $\mathcal{Y}_{\mathcal{A},\mathcal{B},\mathcal{S},\mathcal{P}}$ приведены в Приложении Б.

Выражения для WW-боксов можно получить из формул для ZZ-случая заменой индекса $Z \to W$ в константах связи и пропагаторах, кроме этого, требуется "выключить" прямой бокс, запрещенный законом сохранения электрического заряда.

5. ЧИСЛЕННЫЕ ОЦЕНКИ

Для иллюстрации работы метода была выбрана реакция $u\bar{u}\to \mu^-\mu^+$ с продольно поляризованными кварками. Электрослабые параметры и массы частиц взяты из [17] (масса u-кварка: $m_u=0.06983$ ГэВ [18]), масса фотона: $\lambda=10^{-7}$ ГэВ. Рассмотрены три наблюдаемых величины. Первая — дифференциальное сечение $\frac{d\sigma_{00}^{C}}{dc}$ с неполяризованными начальными частицами (нижний индекс

будет означать степени поляризации), где $c=\cos\theta$, θ — угол рассеяния мюона в с.ц.м. начальных частиц, а индекс C означает происхождение вклада. Вторая наблюдаемая — полное сечение (см. рис. 3a):

$$\Sigma_{00}^{C} = \int_{-1}^{+1} \frac{d\sigma_{00}^{C}}{dc} \cdot dc, \tag{53}$$

третья наблюдаемая величина — поляризационная интегральная асимметрия (см. рис. 36):

$$A_{LR\Sigma}^C = \frac{\Sigma_L^C - \Sigma_R^C}{\Sigma_L^C + \Sigma_R^C},\tag{54}$$

сформированная из аналогичных (53) сечений

$$\Sigma_L^C = \int_{-1}^{+1} \frac{d\sigma_{L0}^C}{dc} \cdot dc, \quad \Sigma_R^C = \int_{-1}^{+1} \frac{d\sigma_{R0}^C}{dc} \cdot dc.$$

Будут рассмотрены три относительных поправки — к дифференциальному сечению без поляризации и две поправки к комбинациям полного се-

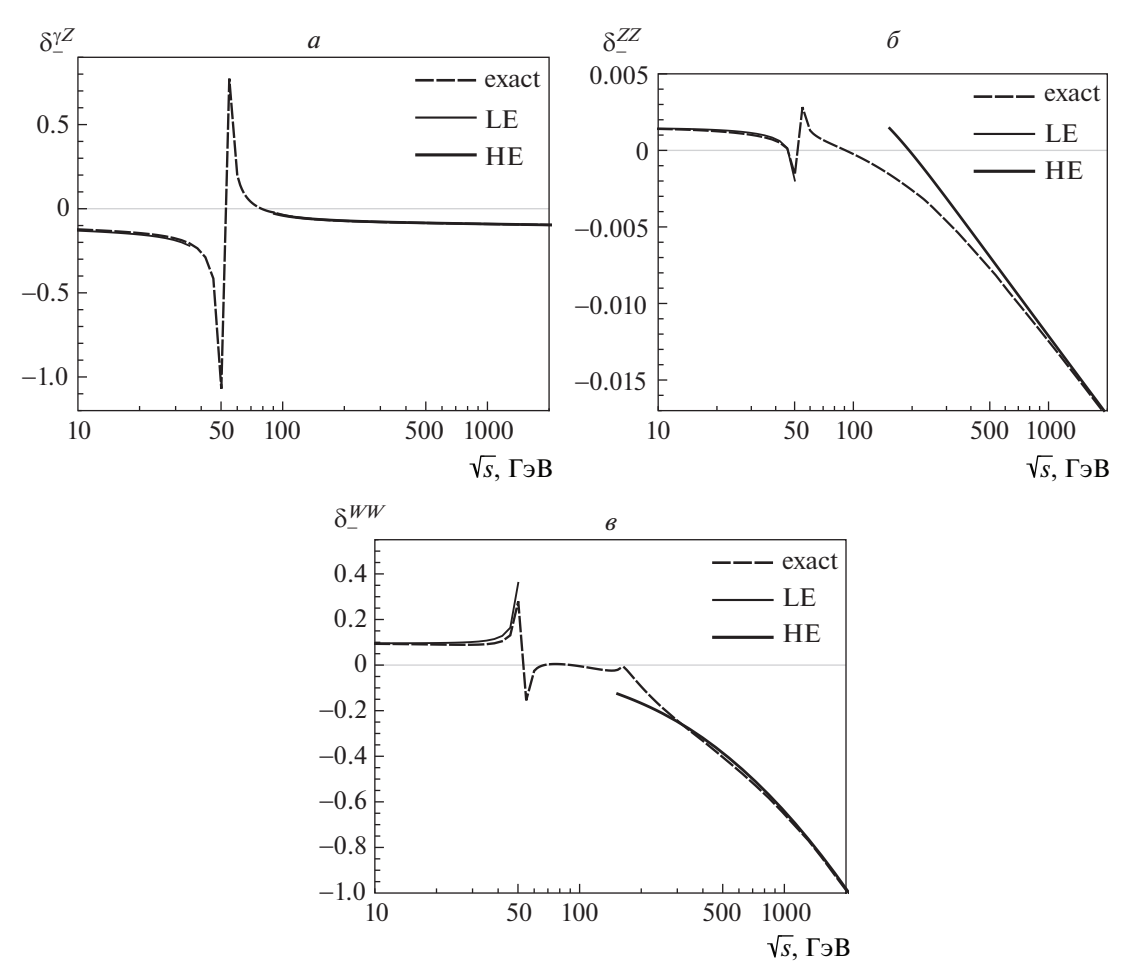


Рис. 8. Относительные поправки δ_- для γZ^- , ZZ^- , WW^- боксов в зависимости от энергии.

чения:

$$\delta^C = \frac{d\sigma_{00}^C}{d\sigma_{00}^0}, \quad \delta_{\pm}^C = \frac{\Sigma_L^C \pm \Sigma_R^C}{\Sigma_L^0 \pm \Sigma_R^0}. \tag{55}$$

Последние две формируют поправку к поляризационной интегральной асимметрии:

$$\delta_A^C = \frac{A_{LR\Sigma}^C - A_{LR\Sigma}^0}{A_{LR\Sigma}^0} = \frac{\delta_-^C - \delta_+^C}{1 + \delta_+^C}.$$
 (56)

Будем пользоваться следующими сокращениями:

- 1. LE-режим (от "low energies", низкие энергии): $m_f \ll \sqrt{s} \ll m_W$,
- 2. RE-режим (от "resonance", Z-резонанс): $\sqrt{s}\sim m_Z,$
- 3. НЕ-режим (от "high energies", высокие энергии): $\sqrt{s} \gg m_Z$.

Анализ показал, что мнимая часть от всех интегралов заметна только в RE-режиме, но и там для всех

относительных поправок она не превышает промилле в исследованной кинематической области.

На рис. 4-6 приведены относительные поправки к дифференциальному сечению для случаев C= $=\gamma Z,\hat{Z}\hat{Z},\hat{W}W$ в зависимости от энергии и угла рассеяния, на рис. 7 и рис. 8 в таком же стиле показаны поправки δ_{\pm} . Изображены три кривые: точный (exact) расчет по новой технологии этой работы, асимптотический расчет для LE-режима и асимптотический расчет для НЕ-режима. Все асимптотические формулы для LE- и HE-режимов приведены в Приложении В. Видно превосходное согласие точных и асимптотических результатов и нетривиальное поведение точного результата в REрежиме: в областях $\sqrt{s} \sim m_{Z,W}$ и $\sqrt{s} \sim 2m_{Z,W}$. В НЕ-режиме хорошо видны известные закономерности поведения [19]: сечение WW-бокса пропорционально второй степени судаковского логарифма (СЛ), сечения γZ - и ZZ-боксов пропорциональны первой степени СЛ (из-за сокращения прямых и перекрестных вкладов), в точке $\theta = 90^{\circ}$ (где t = u) нейтральные боксы не зависят от СЛ.

Отдельное исследование по сверке боксов для НЕ-режима с результатами групп SANC [20] и

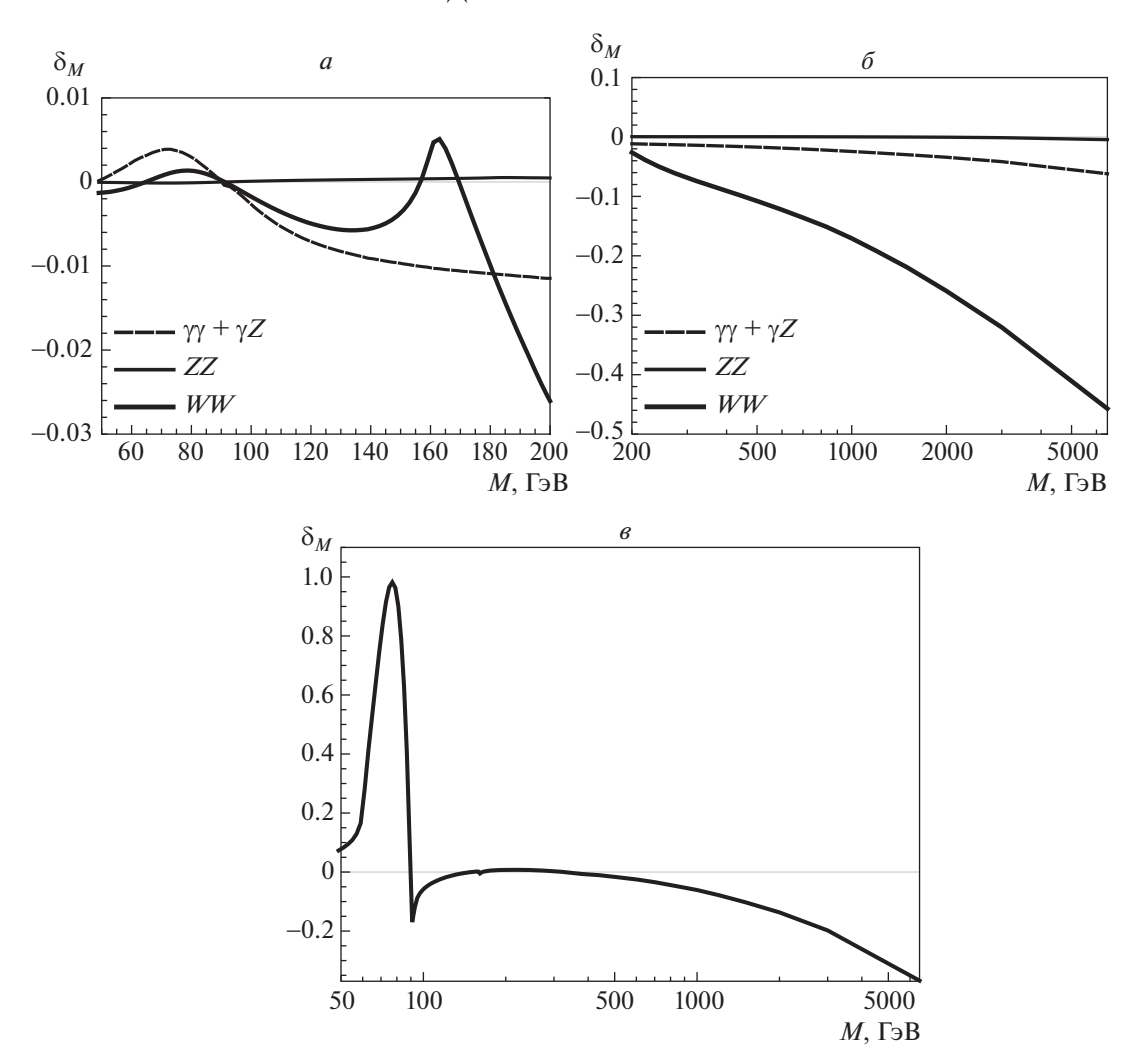


Рис. 9. Относительные поправки δ_M к дифференциальному сечению процесса Дрелла—Яна в зависимости от инвариантной массы димюона: a — вклады боксов в LE- и RE-режимах, δ — вклады боксов в HE-режиме, δ — полная ЭСП.

ZGRAD [21] было проделано в [19], как видно из приведенных здесь результатов, согласие с результатами этих групп распространяется и на REрежим. На рис. 9 показаны относительные поправки

$$\delta_M^C = \frac{d\sigma_{\rm DY}^C/dM}{d\sigma_{\rm DY}^0/dM}$$

к дифференциальному сечению процесса Дрелла—Яна в зависимости от инвариантной массы димюона M: a — вклады боксов в LE- и RE-режимах, b — боксы в НЕ-режиме, b — полная электрослабая поправка (ЭСП). Наконец, на рис. 10 приведены асимметрия вперед-назад $A_{\rm FB}$ в борновском приближении, $A_{\rm FB}$ с учетом ЭСП и их разница для процесса Дрелла—Яна в зависимости от инвариантной массы димюона: a, b — в LE- и RE-режимах, b, b — в HE-режиме. Расчет произведен с помощью программы автора READY (версия 9.0). Были использованы партонные распределения [22], "bare" setup, стандартные ограниче-

ния эксперимента CMS (в частности, для рис. 10 применялось ограничение на быстроту димюона |y| < 2.5). Сравнивая оценки READY с результатами аналогичных расчетов, проведенных другими группами, приведенных в работе [23], можно убедиться в хорошем согласии во всех изученных областях.

6. ЗАКЛЮЧЕНИЕ

В работе описана новая техника расчета вклада в сечение процесса с произвольными поляризованными фермионами диаграмм двухбозонного обмена как части ЭСП. Проведена успешная сверка полученных результатов с асимптотическими выражениями для энергий ниже и выше Z-резонанса. Преимущества нового метода:

1. для вклада ДО получены простые аналитические выражения без особенностей, позволяющие получить точную оценку, которая надежно контролируется,

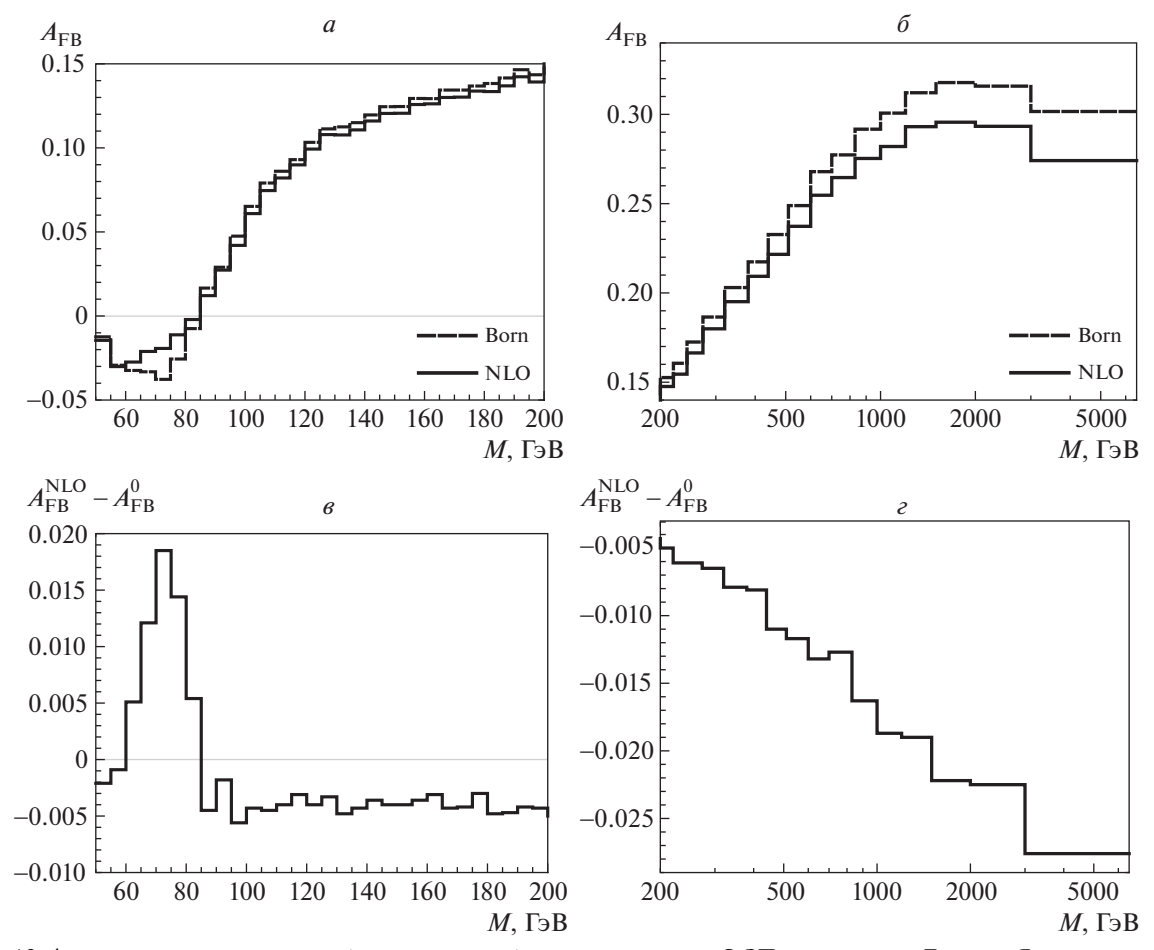


Рис. 10. Асимметрия вперед-назад в борновском приближении и с учетом ЭСП для процесса Дрелла—Яна в зависимости от инвариантной массы димюона: a — в LE- и RE-режимах, δ — в HE-режиме. Разница между асимметрией впередназад с учетом ЭСП и асимметрией вперед-назад в борновском приближении для процесса Дрелла—Яна в зависимости от инвариантной массы димюона: δ — в LE- и RE-режимах, ϵ — в HE-режиме.

- 2. в явном виде представлены действительная и мнимая части,
- 3. в расчете не возникают ультрафиолетовые расходимости, которые появляются при редукции Вельтмана—Пассарино [16] в 2-точечных функциях,
- 4. может быть распространена на взаимодействие, отличное от стандартно-модельного V-A типа: контактное (скалярное) взаимодействие, присутствие аномальных вершин, Z'-бозона, W'-бозона и другое.

Указанные преимущества полезны в круге физических задач, ограниченных одной петлей и s-каналом: фермион-антифермионная аннигиляция (в том числе в канале с заряженным током), процесс Дрелла—Яна, рождение одиночных W-бозонов в протонных столкновениях, расчета распадов мезонов и т.д. Вышесказанное относится и к моделям Новой физики, например тем, в

которых присутствует дополнительный бозон (Z', W', "тяжелый" фотон и т.д.).

Недостатком подхода является то, что по двум фейнмановским параметрам х и у нужно безальтернативно интегрировать численно. Тем не менее, как показал численный анализ, полученные выражения точно и быстро численно рассчитываются во всей доступной экспериментам области энергий и углов. Можно использовать любой алгоритм численного интегрирования (например, метод прямоугольников или метод Симпсона). Выбор тем не менее был оставлен за Монте-Карло техникой, поскольку она удобна для применения в конкретной обстановке физического эксперимента (в работе сделано приложение к расчету реакции Дрелла-Яна на эксперименте CMS LHC). Итак, используя Монте-Карло интегратор VEGAS [9], получаем относительную точность интегрирования порядка 10^{-4} при затраченном времени ~ 0.1 с работы процессора с тактовой частотой 1.2 ГГц на одну кинематическую точку.

Работа выполнена при поддержке Государственной программы научных исследований Республики Беларусь "Конвергенция—2020" (подпрограмма "Микромир и Вселенная"). Автор признателен коллегам по группе RDMS CMS и Ю.М. Быстрицкому за обсуждение. Численный расчет относительных поправок к процессу Дрелла—Яна с помощью READY проведен на Гетерогенной платформе HybriLIT Лаборатории информационных технологий ОИЯИ.

Приложение А

РАСЧЕТ 3-ТОЧЕЧНЫХ ФУНКЦИЙ

Скалярная 3-точечная функция H_0 , встречающаяся в (35), определяется так:

$$H_0^a = H_0^a (p_1, p_3) = (\Pi.1)$$

$$= \int \frac{dk}{i\pi^2} \frac{1}{(k^2 - m_a^2)(k^2 - 2p_1 k)(k^2 - 2p_3 k)}.$$

Расчет интегралов такого типа нетрудно осуществить методом 'т Хоофта—Велтмана [2] (подробное вычисление можно найти, например, в [18]). Для случая $a=\gamma$ в УРП получаем компактное выражение, симметричное относительно замены $m_q \leftrightarrow m_l$:

$$H_0^{\gamma}(p_1, p_3) = \frac{1}{t} \left(\ln \frac{-t}{\lambda^2} \ln \frac{-t}{m_q m_l} - \frac{1}{2} \ln \frac{-t}{m_q^2} \ln \frac{-t}{m_l^2} - \ln^2 \frac{m_q}{m_l} - \frac{1}{6} \pi^2 \right). \tag{\Pi.2}$$

Аналогичная формула для $H_0^{\gamma}\left(p_1,p_4
ight)$ получается заменой t o u.

Скалярная 3-точечная функция F_0 из (35) определяется так:

$$F_0^b = \int \frac{dk}{i\pi^2} \times (\Pi.3)$$

$$\times \frac{1}{\left((k-q)^2 - m_b^2\right) \left(k^2 - 2p_1 k\right) \left(k^2 - 2p_3 k\right)}.$$

Заменой $k \to k+q$ ее нетрудно привести к виду (П.1) (так доказывается, что $F_0^b = H_0^b$), затем рассчитать по технологии [2]. Результатом (для b=Z) будет нетривиальная комбинация 12 дилогарифмов. Покажем здесь, как методом, примененным для 4-точечных интегралов, получить простые формулы и в случае 3-точечной функции.

Итак, после замены переменной интегрирования интеграл выглядит так:

$$H_0^Z = \int \frac{dk}{i\pi^2} \times \tag{\Pi.4}$$

$$\times \frac{1}{(k^2 - m_Z^2)(k^2 - 2p_1k)(k^2 - 2p_3k)}.$$

Выбирая $A=k^2-m_Z^2,\; B=k^2-2p_1k,\; C=k^2-2p_3k,\;$ получим

$$H_0^Z = 2 \int_0^1 dx \int_0^1 y dy \int \frac{dk}{i\pi^2} \frac{1}{E^3}, \qquad (\Pi.5)$$
$$E = (Ax + B\bar{x})y + C\bar{y}.$$

После преобразований получим

$$E = k^2 - 2\mathcal{P}k + \Delta,$$

$$\mathcal{P} = \bar{x}y \cdot p_1 + \bar{y} \cdot p_3, \quad \Delta = -m_Z^2 \cdot xy.$$

Квадрат 4-вектора \mathcal{P} положителен в любой точке области интегрирования:

$$\mathcal{P}^2 = m_q^2 \cdot \bar{x}y(1 - xy) +$$

$$+ m_l^2 \cdot \bar{y}(1 - xy) - t \cdot \bar{x}y\bar{y}.$$

$$(\Pi.6)$$

Снимая интеграл по известной формуле

$$2\int \frac{dk}{i\pi^2} \frac{1; k_{\alpha}}{[k^2 - 2\mathcal{P}k + \Delta]^3} = (\Pi.7)$$
$$= -\frac{1; \mathcal{P}_{\alpha}}{\mathcal{P}^2 - \Delta},$$

получим

$$H_0^Z = -\int_0^1 dx \int_0^1 \frac{ydy}{\mathcal{E} - i\epsilon_Z \cdot xy}, \qquad (\Pi.8)$$
$$\mathcal{E} = \mathcal{P}^2 + m_Z^2 \cdot xy.$$

В результате получим компактные выражения

$$\operatorname{Re} H_0^Z = -\int_0^1 dx \int_0^1 dy \frac{\mathcal{E} \cdot y}{\mathcal{E}^2 + \epsilon_Z^2 \cdot x^2 y^2},$$

$$\operatorname{Im} H_0^Z = -\int_0^1 dx \int_0^1 dy \frac{\epsilon_Z \cdot x y^2}{\mathcal{E}^2 + \epsilon_Z^2 \cdot x^2 y^2}.$$

Для сравнения представим здесь аналитический результат, полученный методом [2] (подробный вывод приведен в [18]). В конечном счете (максимально имеем шестикратную вложенность выражений) он зависит от шести параметров

$$a = m_q^2$$
, $b = m_q^2 + m_l^2 - 2p_1p_3$,
 $c = -2m_q^2 + 2p_1p_3$,
 $d = -f = -m_Z^2 + i\epsilon_Z$, $e = 0$

и представляется в виде комбинаций дилогарифмов:

$$H_0^Z = \frac{1}{\beta} \sum_{i=1}^3 F_1^{(i)}, \tag{\Pi.9}$$

$$F_1^{(i)} = \mathrm{Li}_2 \frac{\alpha_i}{y_i^-} - \mathrm{Li}_2 \frac{\beta_i}{y_i^-} + \mathrm{Li}_2 \frac{\alpha_i}{y_i^+} - \mathrm{Li}_2 \frac{\beta_i}{y_i^+}.$$

Дилогарифм — частный случай полилогариф-ма — определяется при $z\in\mathbb{C}$ так:

$$\text{Li}_2(z) = -\int_0^z \frac{\ln(1-t)}{t} dt.$$
 (II.10)

Расчет значений дилогарифма с необходимой точностью проводят через разложение в ряд: $\text{Li}_2(z) = \sum_{k=1}^\infty \frac{z^k}{k^2}$. Чтобы аргумент z попал в область сходимости, обычно сводят дилогарифм к какойлибо комбинации дилогарифма с другим аргументом и других функций, пользуясь одним из многих имеющихся тождеств, например:

$$\text{Li}_2(z) = -\text{Li}_2\left(\frac{1}{z}\right) - \frac{1}{2}\ln^2(-z) - \frac{1}{6}\pi^2.$$
 (П.11)

В выражении (П.9) $\beta = c + 2\alpha b$, а остальные коэффициенты такие:

$$\alpha_1 = \beta_2 = 1 - \alpha - y_0, \quad \alpha_2 = \beta_3 = -y_0,$$

 $\alpha_3 = \beta_1 = -\alpha - y_0, \quad y_0 = -\frac{d + \alpha e}{\beta}.$

Выражение α выбирается двузначно, конечный результат от выбора знака не зависит:

$$\alpha = \frac{-c \mp \sqrt{c^2 - 4ab}}{2b}.$$

Выражения y_i^\pm являются корнями уравнения $A_i y^2 + B_i y + 1 = 0$ с коэффициентами, зависящими от K_0 и γ ($K_0 = by_0^2 + ey_0 + f$, $\gamma = 2by_0 + e$), так что

$$A_1 K_0 = b,$$
 $A_2 K_0 = b + \frac{\beta}{1 - \alpha}, \quad A_3 K_0 = b + \frac{\beta}{-\alpha},$
 $B_1 K_0 = \gamma + c + 2b\alpha,$
 $B_2 K_0 = \gamma + y_0 \frac{\beta}{1 - \alpha}, \quad B_3 K_0 = \gamma + y_0 \frac{\beta}{-\alpha}.$

Приложение Б

ТАБЛИЦА ИНТЕГРАЛОВ

В расчете встретились следующие интегралы:

$$\mathcal{Y}_{\mathcal{A}} = \int_{0}^{1} \frac{zdz}{\mathcal{A}z + \mathcal{B} - i\mathcal{C}}, \qquad (\Pi.12)$$

$$\mathcal{Y}_{\mathcal{B}} = \int_{0}^{1} \frac{z^{2}dz}{(\mathcal{A}z + \mathcal{B} - i\mathcal{C})^{2}},$$

$$\mathcal{Y}_{\mathcal{S}} = \int_{0}^{1} \frac{zdz}{(\mathcal{A}z + \mathcal{B} - i\mathcal{C})^{2}},$$

$$\mathcal{Y}_{\mathcal{P}} = \int_{0}^{1} \frac{dz}{(\mathcal{A}z + \mathcal{B} - i\mathcal{C})^{2}}.$$

Приведем вычисленные выражения:

$$\operatorname{Re}\mathcal{Y}_{\mathcal{A}} = \frac{1}{\mathcal{A}^{2}} \left(\mathcal{A} + \mathcal{C} \, \mathcal{G}_{\mathcal{A}} - \mathcal{B} \, \mathcal{G}_{\mathcal{L}} \right), \tag{\Pi.13}$$

$$\operatorname{Im}\mathcal{Y}_{\mathcal{A}} = \frac{1}{\mathcal{A}^{2}} \left(\mathcal{B} \, \mathcal{G}_{\mathcal{A}} + \mathcal{C} \, \mathcal{G}_{\mathcal{L}} \right),$$

$$\operatorname{Re}\mathcal{Y}_{\mathcal{B}} = \frac{1}{\mathcal{A}} \left(2\operatorname{Re}\mathcal{Y}_{\mathcal{A}} - \frac{\mathcal{A} + \mathcal{B}}{\mathcal{D}} \right),$$

$$\operatorname{Im}\mathcal{Y}_{\mathcal{B}} = \frac{1}{\mathcal{A}} \left(2\operatorname{Im}\mathcal{Y}_{\mathcal{A}} - \frac{\mathcal{C}}{\mathcal{D}} \right),$$

$$\operatorname{Re}\mathcal{Y}_{\mathcal{S}} = \frac{1}{\mathcal{A}^{2}} \left(-\frac{\mathcal{A}(\mathcal{A} + \mathcal{B})}{\mathcal{D}} + \mathcal{G}_{\mathcal{L}} \right),$$

$$\operatorname{Im}\mathcal{Y}_{\mathcal{S}} = \frac{1}{\mathcal{A}^{2}} \left(-\frac{\mathcal{A} \, \mathcal{C}}{\mathcal{D}} - \mathcal{G}_{\mathcal{A}} \right),$$

$$\operatorname{Re}\mathcal{Y}_{\mathcal{P}} = \frac{\mathcal{B}(\mathcal{A} + \mathcal{B}) - \mathcal{C}^{2}}{(\mathcal{B}^{2} + \mathcal{C}^{2})\mathcal{D}},$$

$$\operatorname{Im}\mathcal{Y}_{\mathcal{P}} = \frac{(\mathcal{A} + 2\mathcal{B})\mathcal{C}}{(\mathcal{B}^{2} + \mathcal{C}^{2})\mathcal{D}}.$$

Используются следующие сокращения:

$$\mathcal{D} = (\mathcal{A} + \mathcal{B})^2 + \mathcal{C}^2, \quad \mathcal{G}_{\mathcal{L}} = \frac{1}{2} \ln \frac{\mathcal{D}}{\mathcal{B}^2 + \mathcal{C}^2}, \quad (\Pi.14)$$
$$\mathcal{G}_{\mathcal{A}} = \operatorname{arctg} \frac{\mathcal{B}}{\mathcal{C}} - \operatorname{arctg} \frac{\mathcal{A} + \mathcal{B}}{\mathcal{C}}.$$

В точке резонанса $q^2 = m_Z^2$ получаем:

$$\mathcal{B} = 0$$
, $\mathcal{G}_{\mathcal{L}} = \ln \frac{\sqrt{\mathcal{A}^2 + \mathcal{C}^2}}{\mathcal{C}}$, $\mathcal{G}_{\mathcal{A}} = -\operatorname{arctg} \frac{\mathcal{A}}{\mathcal{C}}$.

Приложение В

АСИМПТОТИЧЕСКИЕ ФОРМУЛЫ ДЛЯ LE- И НЕ-РЕЖИМОВ

Чтобы получить LE-формулы для γZ -бокса, нужно воспользоваться общим выражением через коэффициенты и занулить все, кроме b_0 и интеграла H_0^{γ} из I_0 (это доказано, например, в [18], см. также ссылки там). Для b_0 (прямого бокса) используем асимптотическое выражение:

$$b_0^{\gamma Z, \text{LE}} = -\frac{1}{4m_Z^2} \left(\frac{3}{2} + \log \frac{m_Z^2}{-t}\right).$$
 (II.15)

Для ZZ-бокса важен только тензорный коэффициент b_0 :

$$b_0^{ZZ,\text{LE}} = -\frac{1}{4m_Z^2}.$$
 (П.16)

Чтобы получить НЕ-формулы, воспользуемся асимптотическими выражениями для прямых боксов (они работают для всех случаев: $ab = \gamma \gamma, \gamma Z, ZZ, WW$):

$$\mathcal{M}_{D}^{ab}\mathcal{M}_{0}^{c+} = +\frac{2C_{s}}{s} \Big[C_{3}^{abc} l_{st}^{2} (3t^{2} + u^{2}) + (\Pi.17) + (C_{4}^{abc} l_{st}^{2} (u^{2} - t^{2}) + 2C_{3+4}^{abc} l_{st} su \Big] - 2C_{s} t \Pi_{3}^{ab} (q) H_{ss}^{abc}.$$

Для перекрестных боксов получим:

$$\mathcal{M}_{C}^{ab}\mathcal{M}_{0}^{c+} = -\frac{2C_{s}}{s} \Big[C_{3}^{abc} l_{su}^{2} (t^{2} + 3u^{2}) + (\Pi.18) + C_{4}^{abc} l_{su}^{2} (u^{2} - t^{2}) + 2C_{3-4}^{abc} l_{su} st \Big] + 2C_{s} u \Pi_{4}^{ab} (q) H_{ss}^{abc}.$$

Здесь $C_{i\pm j}^{abc}=C_{i}^{abc}\pm C_{j}^{abc}$, также используются следующие сокращения:

$$H_{ss}^{abc} = 2\left[C_3^{abc}(u^2 + t^2) + C_4^{abc}(u^2 - t^2)\right], \quad (\Pi.19)$$

$$l_{r_1r_2} = \ln\frac{|r_1|}{|r_2|}.$$

Перед пропагаторными структурами факторизуются трехточечные функции:

$$\Pi_{3,4}^{ab}(q) = H_0^a(p_1, p_{3,4})D_b(q) +
+ H_0^b(p_1, p_{3,4})D_a(q).$$
(\Pi.20)

Выпишем в явном виде ИКР-части $\gamma\gamma$ -бокса:

$$\begin{split} M_D^{\gamma\gamma}\mathcal{M}_0^{c+}|^{\mathrm{IR}} &= -16\pi\alpha^3 Q_q Q_l \times \\ &\times D_{\gamma}(q) D_c^*(q) \cdot R_q^{\gamma\gamma c} \cdot t H_0^{\gamma}(p_1, p_3), \\ M_C^{\gamma\gamma}\mathcal{M}_0^{c+}|^{\mathrm{IR}} &= +16\pi\alpha^3 Q_q Q_l \times \\ &\times D_{\gamma}(q) D_c^*(q) \cdot R_q^{\gamma\gamma c} \cdot u H_0^{\gamma}(p_1, p_4), \end{split}$$

где "борновское" R_q [см. формулу (15)] связано с комбинациями $C_{3,4}$ соотношениями:

$$Q_q Q_l R_q^{aac} = 2 \left[C_3^{a\gamma c} (u^2 + t^2) + C_4^{a\gamma c} (u^2 - t^2) \right]. \tag{\Pi.22}$$

ИКР-части γZ -бокса такие же по форме, как выражения (П.21):

$$M_D^{\gamma Z} \mathcal{M}_0^{c+}|^{\text{IR}} = -8\pi\alpha^3 Q_q Q_l \times (\Pi.23)$$

$$\times D_Z(q) D_c^*(q) \cdot R_q^{ZZc} \cdot t H_0^{\gamma}(p_1, p_3),$$

$$M_C^{\gamma Z} \mathcal{M}_0^{c+}|^{\text{IR}} = +8\pi\alpha^3 Q_q Q_l \times$$

$$\times D_Z(q) D_c^*(q) \cdot R_q^{ZZc} \cdot u H_0^{\gamma}(p_1, p_4).$$

Понятно, что IR-части $Z\gamma$ -бокса дадут такой же вклад и, следовательно, в сумме удвоение. В результате IR-часть сечения от боксовских диаграмм

такая:

$$\frac{d\sigma_{\rm IR}^{\rm Box}}{dt} = -\frac{2\alpha^3}{s^2} Q_q Q_l \times (\Pi.24)$$

$$\times \sum_{a,c=\gamma,Z} \Pi^{ac} R_q^{aac} \Big[t H_0^{\gamma,\rm IR}(p_1,p_3) - (t \leftrightarrow u) \Big],$$

где

$$tH_0^{\gamma,\text{IR}}(p_1, p_3) = \ln \frac{s}{\lambda^2} \ln \frac{-t}{m_q m_l}.$$

Приложение Г

СВОДКА СОКРАЩЕННЫХ ФОРМУЛ

Дадим для справочных целей упрощенный вариант формул для действительной части сечения ДО:

$$\frac{d\sigma^{ab}}{dt} = \frac{2\alpha^3}{s^2} \int_0^1 dx \int_0^1 dy \operatorname{Re} \times (\Pi.25)$$

$$\times \sum_{x \in \mathcal{X}} D_c^*(q) \left(C_3^{abc} [\mathcal{K}_3^{\mathcal{D}} + \mathcal{K}_3^{\mathcal{C}}] + C_4^{abc} [\mathcal{K}_4^{\mathcal{D}} + \mathcal{K}_4^{\mathcal{C}}] \right),$$

где коэффициенты в сечении (их происхождение легко проследить по тексту статьи) выглядят так:

$$\mathcal{K}_{3}^{\mathcal{D}} = \mathcal{C}_{0}^{\mathcal{D}} t(t^{2} + u^{2}) + 2\mathcal{B}_{0}^{\mathcal{D}} (4t^{2} + u^{2}) - (\Pi.26)
- 2\mathcal{C}_{1}^{\mathcal{D}} st^{2} - \mathcal{B}_{4}^{\mathcal{D}} t(2t^{2} + u^{2}),
\mathcal{K}_{4}^{\mathcal{D}} = \mathcal{C}_{0}^{\mathcal{D}} t(u^{2} - t^{2}) + 2\mathcal{B}_{0}^{\mathcal{D}} (u^{2} - 4t^{2}) +
+ 2\mathcal{C}_{1}^{\mathcal{D}} st^{2} + \mathcal{B}_{4}^{\mathcal{D}} t(2t^{2} - u^{2}),
\mathcal{K}_{3}^{\mathcal{C}} = -\mathcal{K}_{3}^{\mathcal{D}}|_{t \leftrightarrow u}, \quad \mathcal{K}_{4}^{\mathcal{C}} = +\mathcal{K}_{4}^{\mathcal{D}}|_{t \leftrightarrow u}.$$

Формулы (П.25), (П.26) работают для всех случаев (γZ и ZZ), коэффициенты же $\mathcal{C}_{0,1}$ и $\mathcal{B}_{0,4}$ разные, приведем их. Для прямого γZ -бокса $\mathcal{C}_{0,1}$ и $\mathcal{B}_{0,4}$ выглядят так:

$$\mathcal{C}_{0}^{\mathcal{D}} = y \left[1 - xy - (1 + xy) \cdot sD_{Z} \right] \mathcal{Y}_{\mathcal{S}} - D_{Z} \left[H_{0}^{\gamma} + \frac{\mathcal{E}y}{\mathcal{E}^{2} + \epsilon_{Z}^{2} x^{2} y^{2}} \right],$$

$$\mathcal{B}_{0}^{\mathcal{D}} = -\frac{1}{2} y \mathcal{Y}_{\mathcal{A}}, \quad \mathcal{C}_{1}^{\mathcal{D}} = xy^{2} \left[\mathcal{Y}_{\mathcal{S}} + (1 - 2xy) \mathcal{Y}_{\mathcal{B}} \right],$$

$$\mathcal{B}_{4}^{\mathcal{D}} = \bar{x} y^{2} \bar{y} \mathcal{Y}_{\mathcal{B}}.$$

Для прямого ZZ-бокса выражения $\mathcal{C}_{0,1}$ и $\mathcal{B}_{0,4}$

$$\mathcal{C}_0^{\mathcal{D}} = -y^2 \mathcal{Y}_{\mathcal{S}}, \quad \mathcal{B}_0^{\mathcal{D}} = -\frac{1}{2} y \mathcal{Y}_{\mathcal{A}},$$

$$\mathcal{C}_1^{\mathcal{D}} = x \bar{x} y^3 \mathcal{Y}_{\mathcal{B}}, \quad \mathcal{B}_4^{\mathcal{D}} = y \bar{y} \big[\mathcal{Y}_{\mathcal{S}} - \mathcal{Y}_{\mathcal{B}} \big].$$

Выражение H_0^{γ} определяется формулой (П.2), \mathcal{E} — формулой (П.8). Выражения $\mathcal{Y}_{\mathcal{A},\mathcal{B},\mathcal{S}}$ приведены в Приложении Б. Они зависят от значений коэффициентов \mathcal{A} , \mathcal{B} , \mathcal{C} , которые приведены в табл. 1 для различных конфигураций бозонов в прямой диаграмме.

552 ЗЫҚУНОВ

Таблица 1. Коэффициенты $\mathcal{A}, \mathcal{B}, \mathcal{C}$ для различных конфигураций бозонов в прямом боксе

Случай	\mathcal{A}	\mathcal{B}	С
γZ	$(m_q^2 \cdot \bar{y} + m_l^2 \cdot \bar{x}y)(1 - xy) - t \cdot \bar{x}y\bar{y} + s \cdot xy$	$(m_Z^2 - s) \cdot xy$	$\epsilon_Z \cdot xy$
ZZ	$t\cdot ar{y} - s\cdot xar{x}y^2$	$-t\cdot \bar{y}+m_Z^2\cdot y$	$\epsilon_Z \cdot y$
WW	$t\cdot ar{y} - s\cdot xar{x}y^2$	$-t\cdot \bar{y}+m_W^2\cdot y$	$\epsilon_W \cdot y$

СПИСОК ЛИТЕРАТУРЫ

- 1. J. Kahane, Phys. Rev. B 135, 975 (1964).
- 2. G. 't Hooft and M. Veltman, Nucl. Phys. B **153**, 365 (1979).
- 3. W. Spence, *An Essay on the Theory of the Various Orders of Logarithmic Transcendants* (London, London and Edinburgh, 1809).
- 4. A. Denner, U. Nierste, and R. Scharf, Nucl. Phys. B **367**, 637 (1991).
- 5. M. Böhm, H. Spiesberger, and W. Hollik, Fortschr. Phys. **34**, 687 (1986).
- G. J. van Oldenborgh and J. A. M. Vermaseren, Z. Phys. C 46, 425 (1990).
- 7. T. Hahn and M. Pérez-Victoria, Comput. Phys. Commun. **118**, 153 (1999); hep-ph/9807565.
- 8. R. P. Feynman, Phys. Rev. 76, 769 (1949).
- 9. P. G. Lepage, J. Comput. Phys. 27, 192 (1978).
- 10. T. Hahn, Comput. Phys. Commun. **168**, 78 (2005); hep-ph/0404043.
- 11. A. V. Smirnov and M. N. Tentyukov, Comput. Phys. Commun. **180**, 735 (2009); arXiv: 0807.4129 [hep-ph]
- 12. S. Borowka, G. Heinrich, S. P. Jones, M. Kerner, J. Schlenk, and T. Zirke, Comput. Phys. Commun. **196**, 470 (2015); arXiv: 1502.06595v2 [hep-ph].
- 13. E. Remiddi and J. A. M. Vermaseren, Int. J. Mod. Phys. A **15**, 725 (2000); hep-ph/9905237.
- 14. C. Bauer and H. S. Do, Comput. Phys. Commun. **144**, 154 (2002); hep-ph/0102231.
- 15. J. Broedel, C. Duhr, F. Dulat, B. Penante, and L. Tancredi, JHEP **1905**, 120 (2019); arXiv: 1902.09971[hep-ph].

- 16. G. Passarino and M. Veltman, Nucl. Phys. B **160**, 151 (1979).
- 17. Particle Data Group (P. A. Zyla *et al.*), Prog. Theor. Exp. Phys. **2020**, 083C01 (2020).
- 18. В. А. Зыкунов, *Пертурбативные расчеты в* физике высоких энергий (ГГУ им. Ф. Скорины, Гомель, 2020).
- V. A. Zykunov, Phys. Rev. D 75, 073019 (2007); hep-ph/0509315.
- A. Andonov, A. Arbuzov, D. Bardin, S. Bondarenko, P. Christova, L. Kalinovskaya, G. Nanava, and W. von Schlippe, Comput. Phys. Commun. 174, 481 (2006); hep-ph/0411186.
- U. Baur, O. Brein, W. Hollik, C. Schappacher, and D. Wackeroth, Phys. Rev. D 65, 033007 (2002); hepph/0108274.
- 22. Jun Gao, Marco Guzzi, Joey Huston, Hung-Liang Lai, Zhao Li, Pavel Nadolsky, Jon Pumplin, Daniel Stump, and C.-P. Yuan, Phys. Rev. D **89**, 033009 (2014); arXiv: 1302.6246[hep-ph].
- 23. C. Buttar, J. D'Hondt, M. Krämer, G. Salam, M. Wobisch, N. E. Adam, V. Adler, A. Arbuzov, D. Bardin, U. Baur, A. A. Bhatti, S. Bondarenko, V. Buge, J. M. Butterworth, M. Cacciari, M. Campanelli, et al., in Proceedings of the Workshop on Physics at TeV Colliders (Les Houches, 2007), p. 121; arXiv: 0803.0678[hep-ph].

CALCULATION OF TWO-BOSON EXCHANGE WITH COMPLEX MASSES

V. A. Zykunov^{1),2)}

¹⁾JINR, Dubna, Moscow region, Russia ²⁾Francisk Skorina Gomel State University, Belarus

New technique for calculation of two-boson-exchange diagram (boxes) contribution to four-fermion cross section with one and two complex masses is described. The detailed numerical analysis of results and comparison with asymptotic estimations for energy regions below and above Z resonance is done.